

تحديد البارامترات الهيدروجيولوجية باستخدام معطيات مراقبة نظام المياه الجوفية في المنطقة الواقعه بين نهري الصنوبر والكبير الشمالي

* الدكتور أحمد محمد

** الدكتور شريف حايك

*** كان راعي

(تاریخ الإیادع 22 / 10 / 2013. قُبِل للنشر في 10 / 10 / 2013)

□ ملخص □

يتضمن هذا البحث مناقشة طريقة تعیین البارامترات الهیدروجيولوجیة باستخدام معطیات مراقبة نظام المياه الجوفیة، وذلك بغیة تحديد قیم هذه المعاملات على مساحات کبیرة. والتي تملک أهمیة تطبيقیة کبیرة وخاصّة عند نمذجة المسائل الهیدروجيولوجیة حيث تسمح بایضاح وتدقيق البنية الهیدروجيولوجیة والهیدرودینامیکیة للمنطقة وأسباب تغیر الخواص الرشحیة للطبقة الحاملة للماء وغيرها.

وقد تبين من خلال هذه الدراسة أن الناقليّة المائيّة تتغير من 36 إلى $570 \text{ m}^2/\text{ يوم}$ ، وعامل الرشح من 1 إلى $53 \text{ m}/\text{ يوم}$ ، وكانت قیم المعطاییة المائيّة منخفضة إلى متوسطة حيث تأرجحت بين 0.00004 و 0.2 بسبب ازدياد عامل الانتشار، في حين تراوحت التغذیة الراسحة من 1 - 40 % من المطرولات تقريباً.
إن النتائج التي تم الحصول عليها تتوافق توافقاً جيداً مع الخصائص الجيولوجیة . البنیویة واللیتولوگیة . السخنیة لمنطقة الدراسة.

الكلمات المفتاحية: البارامترات الهیدروجيولوجیة، التغذیة الراسحة، نهر الكبیر الشمالي، نهر الصنوبر.

* أستاذ - الهیدروجيولوجیا - قسم الجیولوجیا - كلیة العلوم - جامعة تشرين - سوریة.

** أستاذ مساعد - الهیدروجيولوجیا - قسم الهندسة المائیة والری - كلیة الهندسة المدنیة - جامعة تشرين - سوریة.

*** طالب دكتوراه - قسم الجیولوجیا - كلیة العلوم - جامعة تشرين - سوریة.

Defining hydrogeological parameters by using monitoring data of the ground water system in the area between AL-Snobar and ALKabir AL-Shimali Rivers

Dr. Ahmed Mohammed*
Dr. Sharif HAYEK**
Kinan Raee ***

(Received 22 / 7 / 2013. Accepted 10 / 10 /2013)

□ ABSTRACT □

This research discusses the way of defining hydrogeological parameters by using monitored data of the ground water system, for defining the values of these coefficients on large areas, which has a practical significance especially in modeling the hydrogeological problems which allows explaining and checking the hydrodynamic and the hydrogeological structures of the area and the reasons of changing the filtration properties of the aquifer.

It appears that transmissivity varied from 36 to 570 m²/day, the permeability from 1 to 53 m/day, and the water yield from low to medium between 0.00004 and 0.2 because of the rising of the coefficient of diffusion.

The filtration recharge approximately from 1 - 40% from the rain falls.

The obtained results are in good conformity with the geological characteristics - structural and lithologic - facies characteristics for the study area.

Keywords: Hydrogeological parameters, Filtration recharge, ALKabir AL-Shimali River, AL-Snobar River.

* Professor , Department Of Geology , Faculty of Science , Tishreen University , Syria .

** Associate Professor at the Irrigation and Drainage Engineering Department – Faculty of Civil Engineering – Tishreen University – Syria .

*** Postgraduate Student, Department Of Geology , Faculty of Science , Tishreen University , Syria .

مقدمة

توقف دقة التبرؤات الهيدروجيولوجية على مدى صحة المعلومات الأولية التي توضع في المخطط الحسابي للرشف. فإن إنشاء خرائط توزع البارامترات الهيدروجيولوجية للأحواض والمناطق الهيدروجيولوجية، يمكن أن يتحقق بعد الدراسة التفصيلية للخواص الرشحية لهذه المناطق. إلا أن مثل هذه الدراسة لا يتم تنفيذها في أغلب الأحيان بسبب تكلفتها الزائدة. أما الأعمال المخبرية فلأسباب كثيرة لا تؤمن الدقة المطلوبة في تعين البارامترات الهيدروجيولوجية [4,3,2,1].

إن دراسة الخواص الرشحية للطبقة الحاملة للمياه، وإيضاح قوانين وظروف تشكيل هذه الخواص، ورسم خرائط الناقلة المائية لها اعتماداً على قيم محسوبة في بعض الواقع المدروسة (تجارب الضخ)، تُعد عملية معقدة جداً وخصوصاً في المناطق ذات الظروف الهيدروجيولوجية المعقدة حالة منطقة الدراسة. أي بمعنى آخر، لا يمكن تعليم بارامترات الواقع المدروسة على بقية الواقع الأخرى غير المدروسة. لقد نشأت ضرورة تطوير طائق تعين البارامترات الهيدروجيولوجية ومن ثم طائق إنشاء خرائط الناقلة المائية وغيرها في السنوات الأخيرة، وخصوصاً بعد الاستخدام الواسع للنماذج الرياضية في حل مختلف المسائل الهيدروجيولوجية. فعند النمذجة الهيدروجيولوجية بهدف تدقيق بنية الطبقة الحاملة للمياه تتم عملية إعادة إنتاج خريطة تساوي مناسب الماء الجوفية (Hydroisohypes) على النموذج [5,1].

إن مثل هذا التدقيق يعطي إمكانية تعين البارامترات الهيدروجيولوجية، وهو يمثل إضاحاً تفصيلاً للبنية الجيولوجية يتم بموجبه التأكيد من البنية الهيدروجيولوجية للطبقة الحاملة للمياه وتوزع قيم عامل الناقلة المائية الذي يصف بدوره تغير الخواص الرشحية لهذه الطبقة.

ستناقش في هذا البحث طريقة تعين البارامترات الهيدروجيولوجية باستخدام معطيات مراقبة نظام المياه الجوفية. فنظام المياه الجوفية يدرس لحل مختلف المسائل الهيدروجيولوجية، وإحدى أهم هذه المسائل تعين البارامترات الهيدروجيولوجية وتستخدم لذلك عدة طرائق تتوزع في مجموعتين أساسيتين هما:

1. طرائق المعاملات وتستخدم بشكل واسع معطيات مراقبة نظام المياه الجوفية.

2. الطرائق التقليدية.

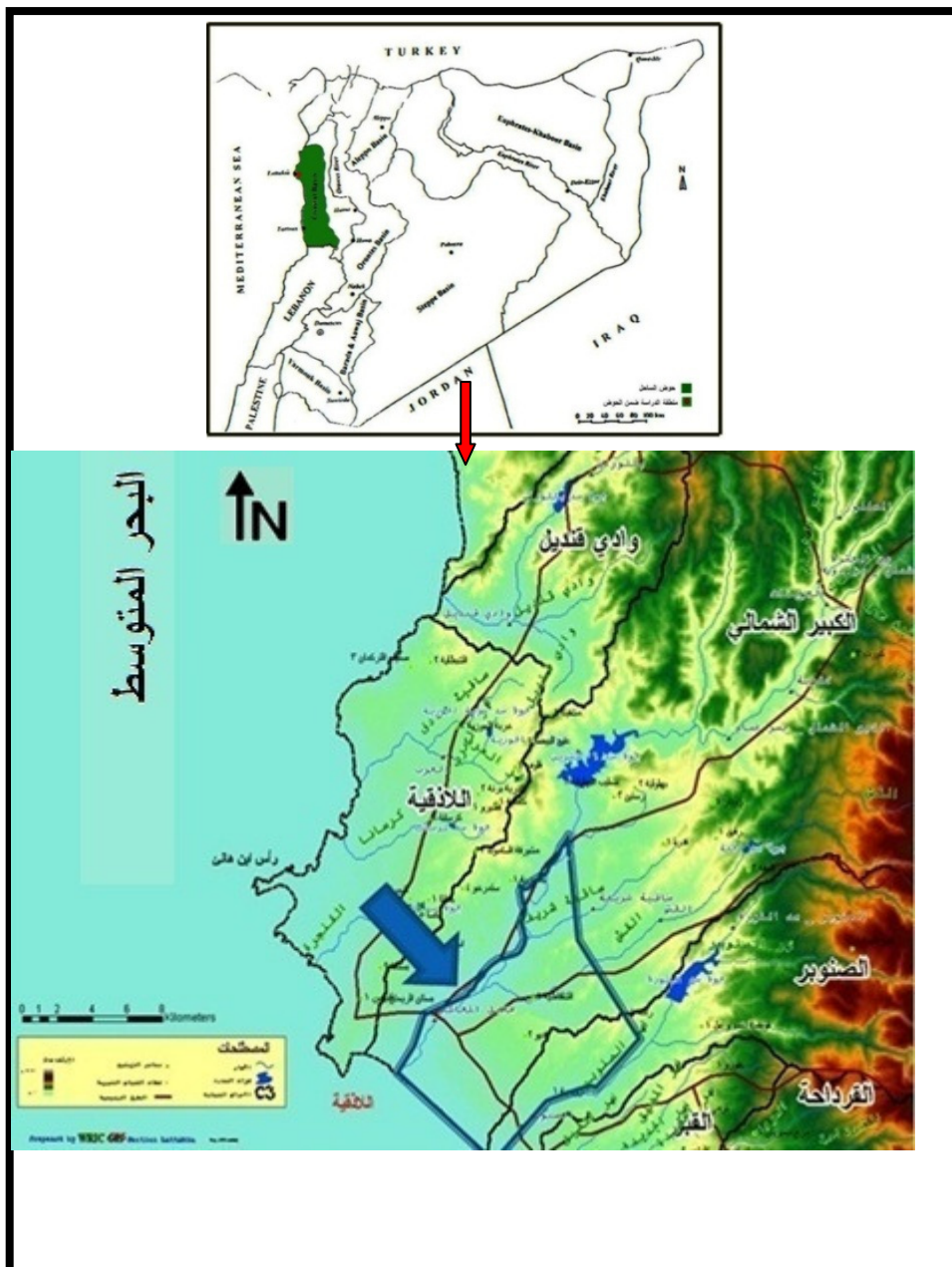
وأهم هذه الطرائق طريقة الفروق المنتهية وتعديلاتها (بالاستعانة حالياً بالنماذج الرياضية).

إن تعين المعاملات بواسطة معطيات مراقبة نظام المياه الجوفية يمكن من الحصول على لوحة أكثر دقة لانتشار هذه المعاملات بالمنطقة المدروسة أفقياً وخصوصاً عند وجود بنية هيدروجيولوجية معقدة، وعند حل المسائل الهيدروجيولوجية في هذه الأوساط يتطلب الأمر تبسيط الظروف الطبيعية فيها بشكلٍ كبير. (وبالتالي تعين المعاملات يكون دقيقاً فقط في النقاط التي نفذت فيها تجارب الضخ).

أجريت العديد من الدراسات تناولت أهمية تحديد البارامترات الهيدروجيولوجية، وخاصةً في إعداد النماذج الرياضية بهدف إدارة الموارد المائية، حيث اعتمدت هذه الدراسات على تهيئة المعلومات الهيدروجيولوجية الأساسية التي تغذي النموذج لغرض معايرته وتشغيله [8,7,6] ، وأيضاً في تقييم الوضع المائي [10,9] ، وفي تقييم تجارب الضخ الاستثمارية منطبقات الحاملة للمياه [11] .

الموقع والميزات العامة لمنطقة الدراسة

تقع منطقة الدراسة ضمن المنطقة الساحلية - شرق مدينة اللاذقية - في الجزء الشمالي من حوض الساحل، وتمتد بين خطى طول $35^{\circ} 33' 35''$ - $35^{\circ} 27' 31''$ شرق خط غرينتش، وبين خطى عرض $36^{\circ} 48' 57''$ - $35^{\circ} 49' 35''$ شمال خط الاستواء. يحدها من الجنوب الغربي البحر المتوسط، ومن الشمال الغربي نهر الكبير الشمالي، ويحدها من الجنوب الشرقي نهر الصنوبر، ومن الشمال الشرقي تلال قرطي المشيرفة وستخيس، (الشكل 1). وتتألف المنطقة المدروسة من الأراضي المروية، التي تشغّل القسم السفلي الجنوبي لحوض نهر الكبير الشمالي، والقسم السفلي الشمالي لحوض نهر الصنوبر. وتبلغ مساحة المنطقة المدروسة حوالي 70 km^2 ، وتوجد فيها تجمعات سكنية عديدة أهمها (ستخيس، البصة، الرومية ...).



الشكل (1) الموقع العام لمنطقة الدراسة ضمن حوض الساحل وسوريا [12]

تمتاز منطقة الدراسة بمناخ متوسطي حار وجاف صيفاً، معتدل ورطب شتاءً. ويمكن تقسيمها حسب طبيعة التضاريس فيها إلى منطقتين: الأولى منطقة السهل الساحلي ويتتألف بدوره من سهل ملاصق لشاطئ البحر حيث تنمو أشجار الحمضيات، وتزرع الخضار بأنواعها، وتحده من الغرب نهر البحر المؤلفة من كثبان رملية حيث تنمو أشجار الصنوبر وبعض الأشجار الحراجية والحمضيات. والثانية هي المنطقة التلالية، وفيها تزرع الحمضيات بكثرة بالإضافة إلى أشجار الزيتون وبعض الخضروات. عموماً تتراوح الارتفاعات في منطقة الدراسة بين (3-190) م [13].

ت تكون الطبقة الحاملة للمياه الجوفية في منطقة الدراسة من توضعات رباعية لحقيقة وبحرية تتتألف من حجر رملي متطبع، وحجر رملي بحري، وكونغلوميرا نهرية، وتوضعات ريحية. وتوضعات نيوجينية تتتألف بشكل رئيس من الغضار، والحجر الرملي، والحجر الكلسي الشيلي، وكونغلوميرا [14]. وهذه التوضعات تألف بمجموعها منظومة هيدروجيولوجية واحدة يتتطور فيها جريان مائي واحد يتميز بغياب التغيرات الحادة بخصائصه الكيميائية سواء بالملوحة أم بالتركيب الكيميائي [15].

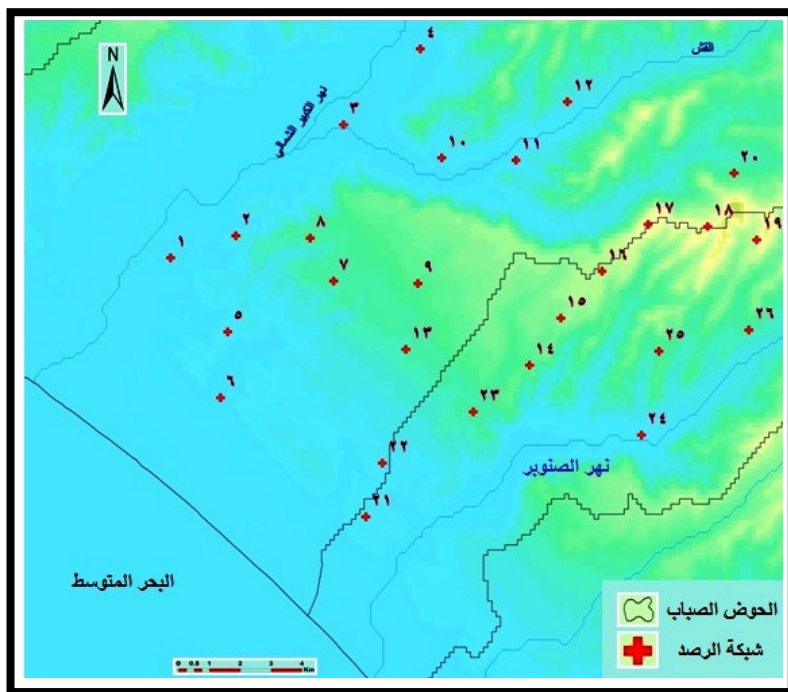
أهمية البحث وأهدافه:

إن التعيين الصحيح لقيم البارامترات الهيدروجيولوجية يملك أهمية تطبيقية كبيرة، وخصوصاً فيما يتعلق بإيضاح وتدقيق ظروف تشكل الخواص الرشحية للطبقة الحاملة للمياه، وهذا بدوره يزيد من الدقة العلمية في تحديد آفاق استخدام المياه الجوفية في مجالات الاقتصاد الوطني المختلفة. فكميات المياه الممكن اخترانها داخل الطبقات الصخرية، تتوقف على مجموعة كبيرة من العوامل المتعلقة بالأبعاد الهندسية للطبقات والخصائص الجيولوجية والهيدروجيولوجية للصخور، وتزداد أهمية هذه المسألة في المناطق التي تتغير فيها المعاملات الهيدروجيولوجية بحدود كبيرة. فعندما لا تختلف الخواص الرشحية للطبقة الحاملة للمياه على مساحة انتشارها بأكثر من 5 - 10 مرات، فإن حقل الرشح يُعتبر شرطياً متجانساً ويتصف بقيم وسطية لمعاملاته الهيدروجيولوجية تتحدد بعلاقات معروفة [2] ، وهذا غير متوفّر في بعض أجزاء منطقة الدراسة حيث تتباين الخواص الرشحية ضمن حدودها بأكثر من ذلك. ويهدف هذا البحث إلى تحديد البارامترات الهيدروجيولوجية التالية: الناقلة المائية (T)، عامل الرشح (K)، عامل الانتشار (a)، عامل المعطانية المائية (μ)، والتغذية الرئيسية (W)، وذلك باستخدام معطيات مراقبة نظام المياه الجوفية، وتوضيح ظروف تشكل الخواص الرشحية للطبقة الحاملة للمياه.

طرائق البحث ومواده:

أجريت الدراسة على 26 بئراً، تم خلالها مراعاة توزع هذه الآبار بحيث تشمل كافة أرجاء منطقة الدراسة، وكافية التوضعات الجيولوجية السائدة فيها، الشكل (2).

وقد شملت القياسات تحديد إحداثيات تلك الآبار باستخدام جهاز GPS ، إضافةً إلى تحديد ارتفاعات فوهات الآبار عن سطح البحر، وأيضاً جزء الطبقة الحاملة للمياه في كل منها (الجدول 1). كما شملت القياسات أيضاً منسوب المياه في جميع الآبار لمدة 14 شهراً، بدءاً من كانون الثاني للعام 2012 وحتى شباط 2013.



الشكل (2) توزع آبار شبكة الرصد ضمن منطقة الدراسة

وسنستخدم طريقة خط التيار، والهدف من استخدام هذه الطريقة ليس فقط تحديد البارامترات الهيدروجيولوجية وإظهار توزعها في منطقة الدراسة، وإنما تحديد قيمة التغذية الراشحة أيضاً، لذلك يتم اختيار مقاطع مراقبة توافق خطوط التيار (اتجاه الحركة). وكل مقطع من هذه المقاطع يتكون على الأقل من ثلاثة آبار تنتشر على طول خط التيار، الشكل (3).

النتائج والمناقشة:

بهدف تحديد عامل الناقلة المائية تم إجراء الحساب في فترة الجفاف (حيث تُهمل التغذية الراشحة)، وعند ذلك تأخذ المعادلة التفاضلية للرشع الشكل التالي: [1]

$$\frac{\partial}{\partial x} \left(T \frac{\partial H}{\partial x} \right) = 0 \quad (1)$$

حيث إن:

T : الناقلة المائية ، H : منسوب المياه في المركز المختار ، X : الجزء المدروس.

إذا أعدنا كتابة هذه المعادلة كمعادلة تفاضلية بسيطة بالنسبة لـ (T) تصبح:

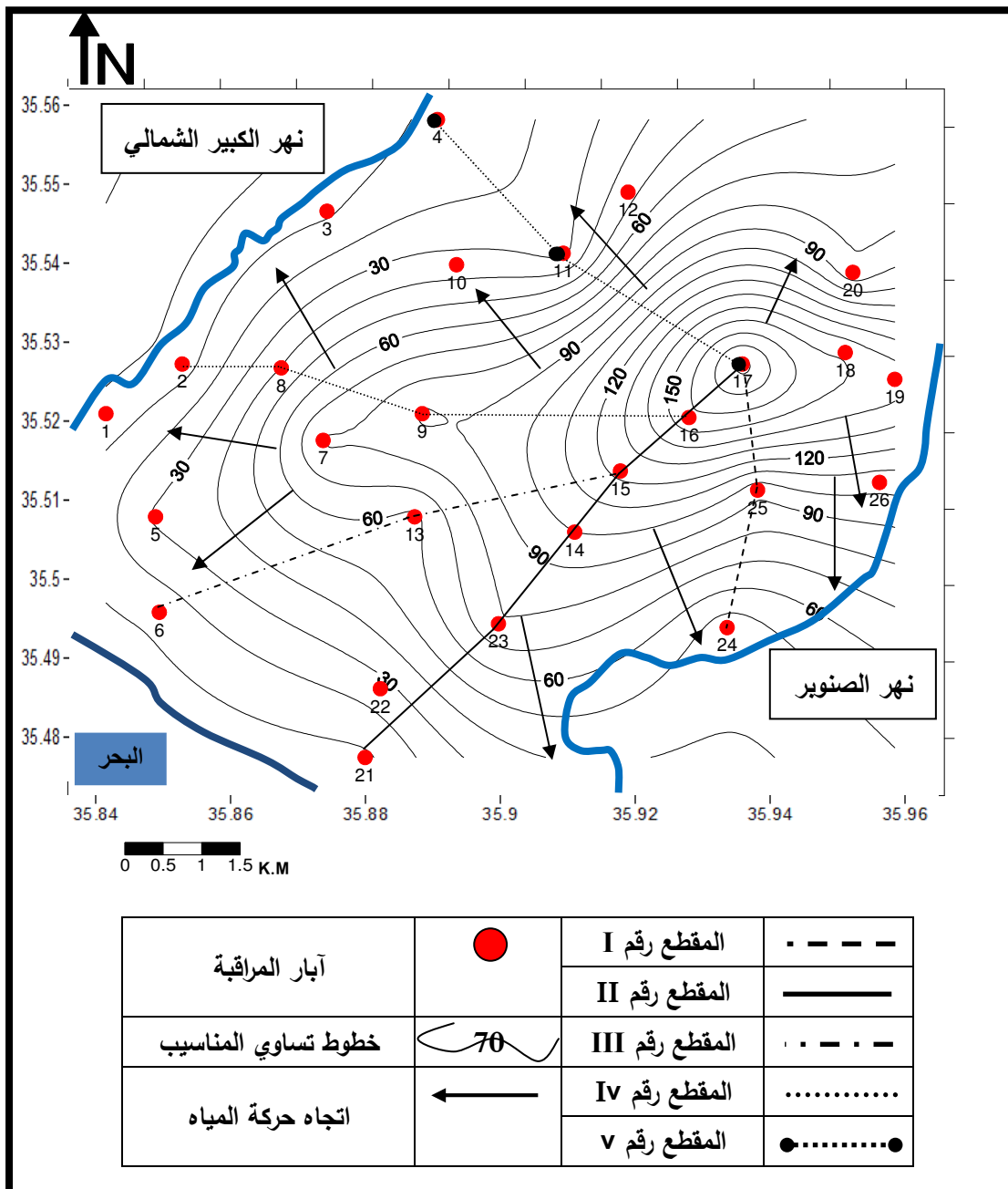
$$\frac{\partial T}{\partial x} \cdot \frac{\partial H}{\partial x} + T \frac{\partial^2 H}{\partial x^2} = 0 \quad (2)$$

ويفرض أن:

$$i^* = \frac{\partial H}{\partial x} : \varepsilon^* = \frac{\partial^2 H}{\partial x^2} \quad (3)$$

حيث أن ε^* , i^* : هي قيم المشتقات التي سيتم الحصول عليها بواسطة معطيات مراقبة نظام المياه الجوفية على الجزء المدروس.

تأخذ المعادلة (2) الشكل التالي:



الشكل (3) خريطة بيزومترية لمنطقة الدراسة لعام 2012 ، ومواقع مقاطع المراقبة المختارة

$$\frac{\partial T}{\partial x} i^* = -T \varepsilon^* \quad (4)$$

وبفصل المتحولات والتكامل على الجزء ($X_1 - X_3$) نحصل على:

$$\int_{T_1}^{T_3} \frac{\partial T}{T} = - \int_{x_1}^{x_3} \frac{\varepsilon^*}{i^*} dx \quad (5)$$

نتناول الجزء (X_1, X_3) كثلاث نقاط (1 ، 2 ، 3) ذات تباعد واحد ΔX عن بعضها عن بعضها الآخر، وطول مقداره ($X_3 - X_1 = 2\Delta X$)، الشكل (4)، فإذا اعتبرنا تغير T على النحو التالي: $T = f(X)$ ، فإن المشتقين الأول والثاني يمكن تعبيدهما بواسطة معطيات مراقبة نظام المياه الجوفية وبالتالي نحصل باستعمال مفهوم التكامل على الشكل الآتي:

$$\ln \frac{T_3}{T_1} = \frac{\varepsilon^*}{i^*} (X_3 - X_1) \quad (6)$$

أو تكتب بالشكل التالي:

$$T_3 = T_1 e^{a_1} \quad (7)$$

باعتبار أن:

$$i^* \approx \frac{H_3 - H_1}{2\Delta X}; \varepsilon^* = \frac{2H_2 - H_1 - H_3}{\Delta X^2} \quad (8)$$

$$a_1 = \frac{4(2H_2 - H_1 - H_3)}{H_3 - H_1} \quad (9)$$

i^* ، ε^* : هي قيم المشتقات التي تم الحصول عليها بواسطة معطيات مراقبة نظام المياه الجوفية على الجزء $[X_3 - X_1]$.

H_1, H_2, H_3 : هي قيم مناسبات المياه في المراكز (1 ، 2 ، 3) المختارة للحساب.

T_1, T_3 : قيم الناقلة المائية في المراكز (1 ، 3).

إذاً عند غياب التغذية الرئيسية وبمعرفة قيمة دقة للناقلة المائية T_{1-2} (بواسطة تجارب الصخ مثلاً) يمكن أن

تعين T_{2-3} وفق الشكل التالي:

$$T_{2-3} = \frac{T_{1-2} \times J_{1-2}}{J_{2-3}} \quad (10)$$

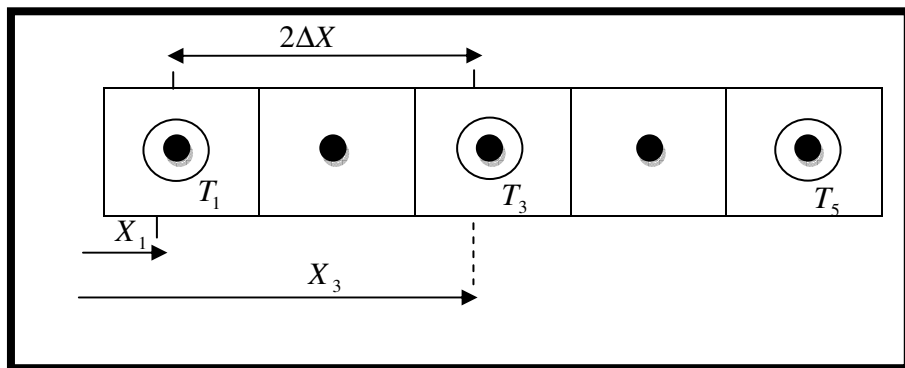
حيث إن:

$$J_{2-3} = \frac{H_2 - H_3}{\Delta X_{2-3}}, \quad J_{1-2} = \frac{H_1 - H_2}{\Delta X_{1-2}}$$

الجدول (1) إحداثيات آبار مراقبة نظام المياه الجوفية والطبقة الحاملة للمياه في منطقة الدراسة

الرقم	المنطقة	الطبقة الحاملة للمياه	الإحداثيات		
			x	y	Z (m)
1	المعاكس	FQ ₃	35.520	35.841	5
2	الشبر	FQ ₃	35.524	35.853	9
3	ستخirs	FQ ₃	35.542	35.875	12
4	رويصة الحرش	FQ ₃	35.555	35.890	15
5	البصة	eQ ₃	35.507	35.852	34
6	الحمى	eQ ₃	35.496	35.851	22
7	الهنادي	N ₂	35.516	35.874	85
8	الخلالة	FQ ₂	35.524	35.868	44
9	فديو	N ₂	35.516	35.890	94
10	الشفاطية	FQ ₃	35.537	35.895	39
11	دبأ	N ₂	35.538	35.909	37
12	منجيلا	FQ ₄	35.547	35.920	55
13	البارد	mQ ₂	35.505	35.888	62
14	القطريّة	N ₂	35.503	35.913	105
15	مزار القطريّة	N ₂	35.511	35.919	127
16	مزار القطريّة	N ₂	35.520	35.927	165
17	المشيرفة	mQ ₁	35.528	35.937	190
18	ضهر السرياني	N ₂	35.528	35.948	160
19	الرامة	N ₂	35.526	35.958	161
20	القاقعية	N ₂	35.537	35.953	84
21	الصنوبر	mQ ₂	35.478	35.881	24
22	نبع الرز	mQ ₂	35.486	35.884	36
23	الخرونية	mQ ₂	35.495	35.902	86
24	الرويمية	FQ ₄	35.492	35.936	48
25	المصلّى	N ₂	35.506	35.940	94
26	الضاهيرية	N ₂	35.510	35.957	105
: التوزعات الحقيقة الحديثة					
fQ ₄ : توزعات الرباعي الأعلى للحقيبة					
fQ ₃ : توزعات الرباعي الأعلى للحقيبة					
eQ ₃ : توزعات الرباعي الأعلى الريحية					
mQ ₂ : توزعات الرباعي الأوسط البحريّة					
mQ ₁ : توزعات الرباعي الأدنى البحريّة					
N ₂ : توزعات البليوسين					

إن قيمة الناقلة المائية التي تم الحصول عليها تُستخدم لتعيين الناقلة المائية على جزء المقطع الآخر، وهذا حتى نهاية مقطع المراقبة.



الشكل (4) تحديد البارامترات الهيدروجيولوجية للطبقة الحاملة للمياه بواسطة معطيات مراقبة نظام المياه الجوفية

وقد أدخلنا تعديلاً أساسياً في هذه الطريقة باعتماد القيمة الأولية (البدئية) للناقلة المائية كقيمة وسطية حددت بالاستناد إلى المعطيات الهيدروجيولوجية لعدة آبار تخترق الطبقة الحاملة، وأجريت فيها تجارب الضخ وليس كقيمة نقطية محددة في بئر مفردة تقع في بداية مقطع المراقبة.

أما بالنسبة لعامل الانتشار (a) والمعطائية المائية (μ) فيتم تعينهما لحالة عدم الاستقرار. فالبئر الذي هو بجوار النهر أو في بداية المقطع يعد بئراً حدودياً (نهاية)، والبئر الذي يليه يعد بئر دليل (مراقبة). ويتم إجراء الحساب للفترة التي تكون فيها قيمة تغير المنسوب للمياه في البئر الحدودي ثابتة، وعند ذلك يستخدم الحل التحليلي التالي: [9]

$$\frac{\Delta H}{\Delta H_0} = R(\lambda) \quad (11)$$

إذا عرفنا قيمة الطرف اليساري بواسطة مراقبة نظام المياه الجوفية، نجد قيمة $R(\lambda)$ ، ومنها نجد قيمة (λ) من جداول خاصة بذلك، ومن ثم قيمة معامل الانتشار (a) بالمعادلتين التاليتين:

$$\lambda = \frac{X}{\sqrt[2]{a \cdot t}} \quad (12)$$

$$a = \frac{X^2}{4\lambda^2 t}$$

حيث إن:

ΔH_0 ، ΔH تمثلان تغيرات مناسب الماء في البئر الحدودي وفي بئر المراقبة خلال فترة رصد محددة (t).
 X : المسافة بين البئرين.

وعند تنفيذ الدراسة يؤخذ بالحساب أنه خلال فترة إجراء الحساب لم تتغير قيمة التغذية الرئيسية. أما قيمة معامل المعطائية فيتم تحديده بعد تعين عامل الانتشار (a) وفق العلاقة التالية:

$$\mu = \frac{T}{a}$$

وبالنسبة لعامل الرشح (K) فإنه يُحسب من العلاقة التالية:

$$K = \frac{T}{h}$$

حيث إن h هي التخانة الفعالة للطبقة الحاملة للمياه التي تم تحديدها بعد دراسة تحليلية لواقع الآبار الموجودة في منطقة الدراسة.

ويوضح (الجدول 2) نتائج تحديد البارامترات الهيدروجيولوجية لمنطقة الدراسة:

الجدول (2) قيم المعاملات الهيدروجيولوجية بواسطة معطيات مراقبة نظام المياه الجوفية

h (م)	μ	a (m^2/d)	K (m/d)	T (m^2/d)	المقاطع المختارة (الآبار)
14.5			10.34	150	I (24-25-17)
10	0.0036	3.8×10^4	13.50	135	
40.5	0.0614	3.2×10^3	6.54	265	
14.5			10.34	150	II (21-23-14-15-16-17)
14.5	0.0076	2.8×10^4	19.31	280	
10	0.0199	1.3×10^4	24.00	240	
10	0.2075	1.2×10^3	29.40	294	
25.5	0.0138	3.1×10^4	22.31	569	
25.5	0.00004	9.4×10^6	9.92	253	
10			24.00	240	III (6-13-15)
25.5	0.0013	1×10^5	1.41	36	
29.5	0.0031	1.7×10^4	2.37	70	
14.5			19.31	280	IV (2-8-9-16)
10	0.0024	1.6×10^5	53.20	532	
25.5	0.1259	3.5×10^3	14.58	372	
29.5	0.0206	1.7×10^4	11.66	344	
14.5			10.34	150	V (4-11-17)
10	0.0014	9.6×10^4	13.00	130	
29.5	0.0123	5.6×10^4	42.44	1252	

يُظهر تحليل الجدول السابق أن قيم الناقلة المائية تتغير من 36 إلى 570 m^2/day وتصل أحياناً إلى $1250 m^2/day$ تقريباً في المقاطع (v) الواقع في الجزء الشمالي الغربي من منطقة الدراسة. في حين تراوحت قيم عامل الرشح بين 1 - 53 m/day تقريباً.

أما قيم المعطانية المائية في منطقة الدراسة فتراوحت بين 0.00004 و 0.2 ، وهي قيم منخفضة إلى متوسطة، من جراء ازدياد قيمة عامل الانتشار [2] .

تحقق التغذية في هذه المنطقة بالأساس على حساب تسرب جزء من مياه الأمطار خلال فترة الشتاء، وكذلك على حساب الامتصاص الجزئي للمياه التي تُضخ للري التكميلي والشرب خلال فترة الصيف (التحاريق) ونسميتها التغذية الرئيسية الثانوية.

ولتعيين التغذية الراشحة استخدمنا طريقة الفروق المنتهية، حيث توخذ على منحني تغير منسوب المياه لسنوات رصد عديدة، فترة تحافظ خلالها التغذية الرئيسية على قيمتها وهذه الفترة لمنطقة الدراسة تتوافق فصل الشتاء، وتأخذ المعادلة التي استخدمناها الشكل التالي: [1]

$$W = \frac{\Delta H_2, \Delta t}{\Delta t} \mu - \frac{K}{\Delta X_{av}} \left[\frac{h_1 + h_2}{2} \cdot \frac{H_1 - H_2}{\Delta X_{1-2}} - \frac{h_2 + h_3}{2} \cdot \frac{H_2 - H_3}{\Delta X_{2-3}} \right] \quad (13)$$

باعتبار أن:

ΔH_2 : تغير منسوب المياه في المقطع (البئر) الوسطي، خلال فترة زمنية مقدارها (Δt).

ΔX : المسافة بين المقطعين (البئرين) 2-1 و 3-2 وتعين كالتالي:

$$\Delta X_{av} = \frac{\Delta x_{1-2} + \Delta x_{2-3}}{2}$$

K : عامل الرشح للطبقة على الجزء 1-3

$H_3, H_2, H_1, h_3, h_2, h_1$: قيم وسطية خلال فترة زمنية Δt لسماكة ومنسوب الجريان المائي الجوفي في الآبار 1 ، 2 ، 3 .

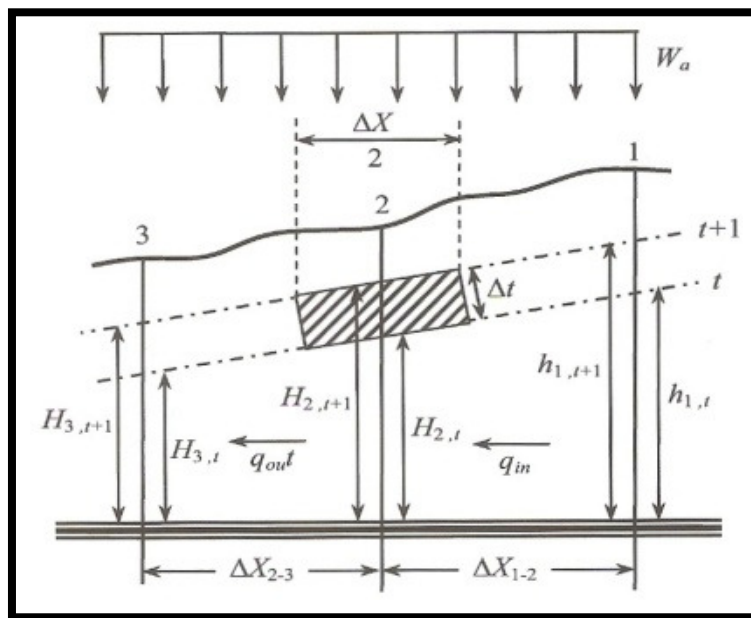
ويوضح الشكل (5) مخططاً لتوزع الآبار في مقطع المراقبة لحساب التغذية الراشحة بطريقة الفروق المنتهية.

إن تحليل منحنيات ترددات مناسبات المياه الجوفية في آبار شبكة المراقبة، يُظهر بوضوح بأن ارتفاع منسوب المياه الجوفية يحدث بالأساس بعد الهطولات المطرية التي تُعد في هذه الحالة مصدر التغذية الأساسية للمياه الجوفية في هذه المنطقة. يمكن الوصول إلى هذه القيمة، إذا كانت قيمة العنصر الثاني في الطرف اليمني للمعادلة السابقة يساوي الصفر، وهذا يتحقق بالأساس عندما تكون قيمة $q_{in} \approx q_{out}$ أي (الوارد الجوفي \approx الصادر الجوفي). وفي ظروف منطقة الدراسة فإن الوارد الجوفي يكاد يكون معديداً حيث تمثل الحدود الشرقية لمنطقة الدراسة حدوداً مغلقة $Q=0$ والتغذية الجوفية العميقية معروفة، وفي هذه الحالة تتحدد التغذية الراشحة بالعلاقة الآتية للفترة المأخوذة:

$$W = \mu \frac{\Delta H_2, \Delta t}{\Delta t} \quad (14)$$

حيث $\Delta H_2, \Delta t$ الارتفاع الملاحظ لمنسوب المياه الحرة خلال الفترة Δt .

إن حساب التغذية الراشحة بالعلاقة السابقة يعطي قيمة منخفضة نسبياً (أقل من الواقع الطبيعي)، إذ أنه لم يتم احتساب قيمة الانخفاض المتعلق بال الصادر الجوفي من الطبقة باتجاه المصادر الطبيعية التي تمثل مجاري الأنهر والبحر خلال فترة الحساب (Δt). ويتم تحديد هذه القيمة تقريباً من خلال منحني المراقبة، الشكل (6).



الشكل(5) توضع الآبار في مقطع المراقبة لحساب التغذية الراشحة بطريقة الفروق المنتهية [16]

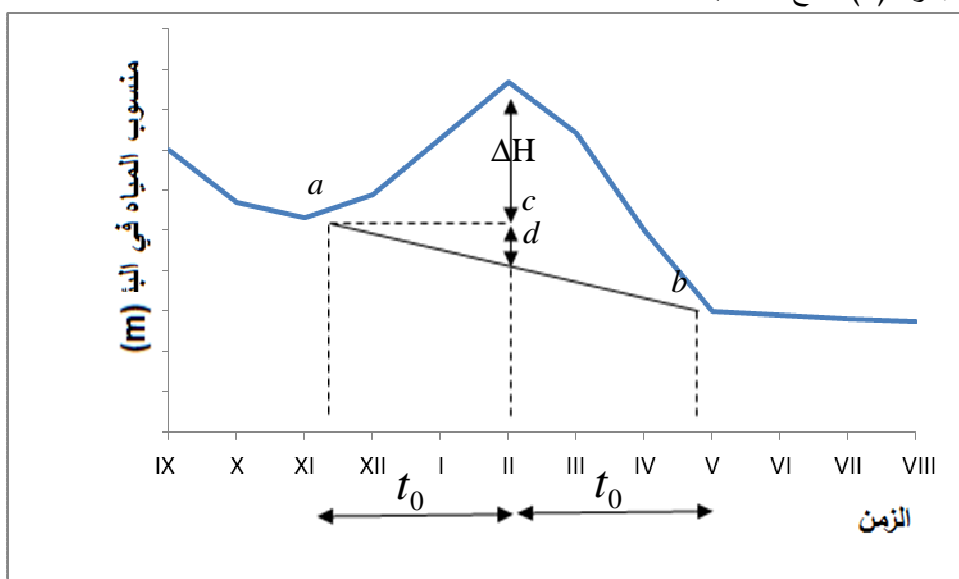
وذلك إذا اعتبرنا زمن نهوض المنسوب في الطبقة (t_0) يساوي زمن انخفاضه (t_0)، وعند ذلك يتم تعين قيمة هذا الانخفاض الذي يحدث على حساب خروج المياه من الطبقة خلال فترة الحساب بالعلاقة: [17]

$$W = \mu \frac{\Delta H + \Delta Z}{\Delta t} \quad (15)$$

حيث ΔZ تمثل قيمة انخفاض المنسوب خلال الفترة Δt على حساب خروج المياه من الطبقة باتجاه المصادر الطبيعية، وهي تُحدد على النحو التالي: [17]

نصل بين نقطتي بداية نهوض المنسوب (a) للفترة الزمنية (t_0) ونهاية الفترة الزمنية لانخفاضه (b) المكافئة للفترة الزمنية (t_0) لنهوضه، بخط مستقيم حيث يعبر الطول (cd) عن قيمة ΔZ .

يبين الجدول (3) نتائج الحساب:



الجدول (3) يوضح نتائج حساب التغذية الراشحة

قيمة التغذية الراشحة W (mm)	سرعة ارتفاع منسوب المياه الجوفية $v = \frac{\Delta H}{\Delta t}$ (m/d)	$\Delta H + \Delta Z$ (m)	رقم البئر	رقم المقطع
النسبة المئوية من كمية الأمطار				
$\frac{34.44}{6.2}$	4.8×10^{-3}	1.06	25	I
$\frac{15.49}{2.8}$	1.8×10^{-2}	2.24	23	II
$\frac{3.76}{0.6}$	1.2×10^{-2}	1.71	13	III
$\frac{20.47}{3.7}$	2.1×10^{-3}	0.32	9	IV
$\frac{210.96}{38.3}$	2.0×10^{-2}	2.88	8	
$\frac{9.04}{1.6}$	7.4×10^{-3}	1.32	11	V

لقد أظهرت نتائج الحساب أن قيمة التغذية الراشحة تتغير من 3.5 إلى 211 مم تقريباً، وتبلغ وسطياً 49 مم، وبنسبة مئوية تتراوح بين (1-40)% تقريباً من معدل كمية الأمطار خلال الفترة (Δt)، وبالتالي فإن الهطولات المطرية تذهب بغالبيتها على تشكيل جريانات سطحية وعلى التبخر. كما أن ارتفاع المنسوب في أجزاء المنطقة يختلف بحسب الصفات الرشحية، حيث سُجلت أعلى قيمة للتغذية الراشحة في المقطع (IV) وقد بلغت أعلى قيمة لعامل الرشح (53.20) م/يوم في هذا المقطع أيضاً، حيث تنتشر توضيعات مؤلفة من الحجر الكلسي الرملي والحجر الرملي الهش. بينما كانت أقل قيمة للتغذية الراشحة في المقطع (III) ونلاحظ أقل قيمة لعامل الرشح (1.41) م/يوم ضمن هذا المقطع أيضاً، حيث تشكل التوضيعات حاماً جيداً للماء (بسبب ازدياد ثخانة الطبقة الحاملة للمياه)، إلا أنها تتوضع فوق طبقات غير نفاذة للماء تعود إلى البليوسين مؤلفة من المارل. كما نلاحظ من الشكل (3) أن الخواص الرشحية للطبقة الحاملة للمياه جيدة في القسم الغربي والجنوب الغربي من منطقة الدراسة، ويشير إلى ذلك تباعد المسافات بين خطوط تساوي مناسيب المياه الجوفية في هذا الجزء، حيث إن الانحدار (الميل) يكون قليلاً مقارنةً مع القسم الشرقي والشمال الشرقي من المنطقة من خلال تقارب خطوط تساوي مناسيب المياه، وهذا مؤشر على تردي الخواص الرشحية في هذا القسم من منطقة الدراسة.

تقدير دقة تحديد قيم المعاملات الهيدروجيولوجية:

لتقدير دقة قيم المعاملات الهيدروجيولوجية المعينة يستخدم التمثيل البياني لمعادلة الفروق المنتهية، وذلك في جمل إحدائية خاصة.

عند غياب التغذية الرئيسية (أو انعدامها) يكون:

☒

$$W(x, t) = 0$$

والمعادلة (13) يمكن أن تمثل بمستقيم في الجملة الإحدائية:

$$\varphi_2 = f(\varphi_1) \quad (16)$$

$$T \frac{H_1 + H_3 - 2H_2}{\Delta X} = \mu \cdot \frac{\Delta H_2 t}{\Delta t} \quad (17)$$

$$\frac{T}{\mu} \varphi_1 = \varphi_2 \quad \varphi_2 = C \varphi_1 \quad (18)$$

حيث أن:

$$\varphi_1 = \frac{H_1 + H_3 - 2H_2}{\Delta X} \quad \varphi_2 = \frac{\Delta H_2 t}{\Delta t} \quad (19)$$

أما في حالة وجود تغذية رئيسية، أي عندما:

$$W(x, t) > 0$$

يكون لدينا:

$$T \frac{H_1 + H_3 - 2H_2}{\Delta X} + W = \mu \frac{\Delta H_2 t}{\Delta t} \quad (20)$$

أي أن:

$$\frac{T}{\mu} \varphi_1 + \frac{W}{\mu} = \varphi_2 \quad \varphi_2 = A + C \varphi_1 \quad (21)$$

حيث:

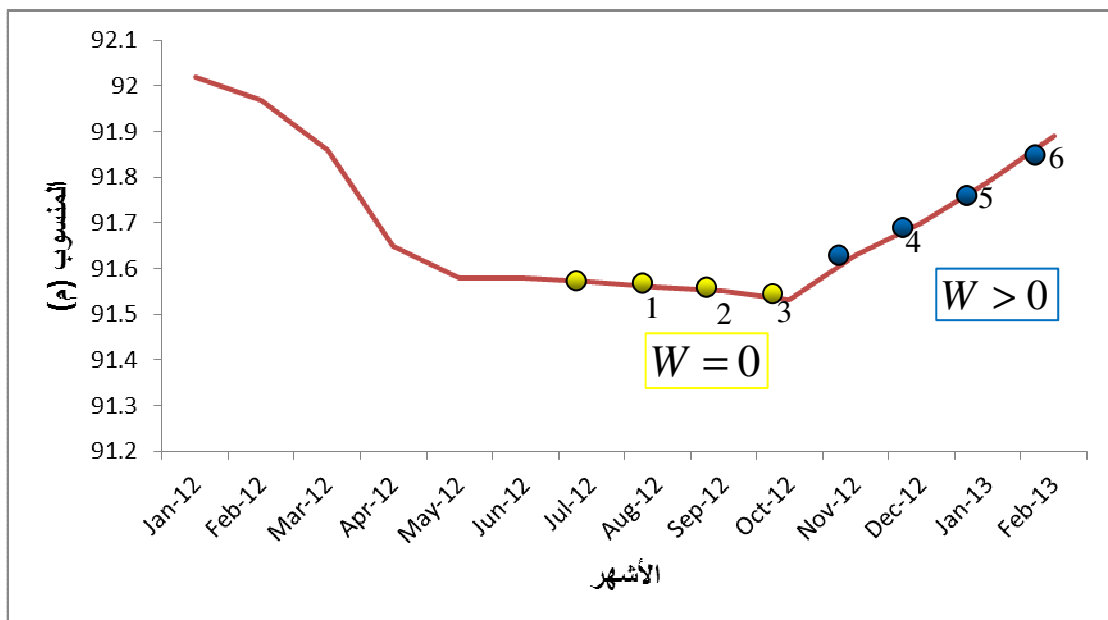
$$C = \text{tag } \alpha = \frac{T}{\mu} \quad : \quad A = \frac{W}{\mu}$$

وبحسب هذا التمثيل فإن ميل المستقيم (C) على محور السينات يوافق العلاقة $\frac{T}{\mu}$ ، أما الاقطاع (A) الذي

يحدثه على محور العينات فيساوي $\frac{W}{\mu}$. وعندما يكون تعبيين المعاملات الهيدروجيولوجية صحيحاً فإن جميع نقاط

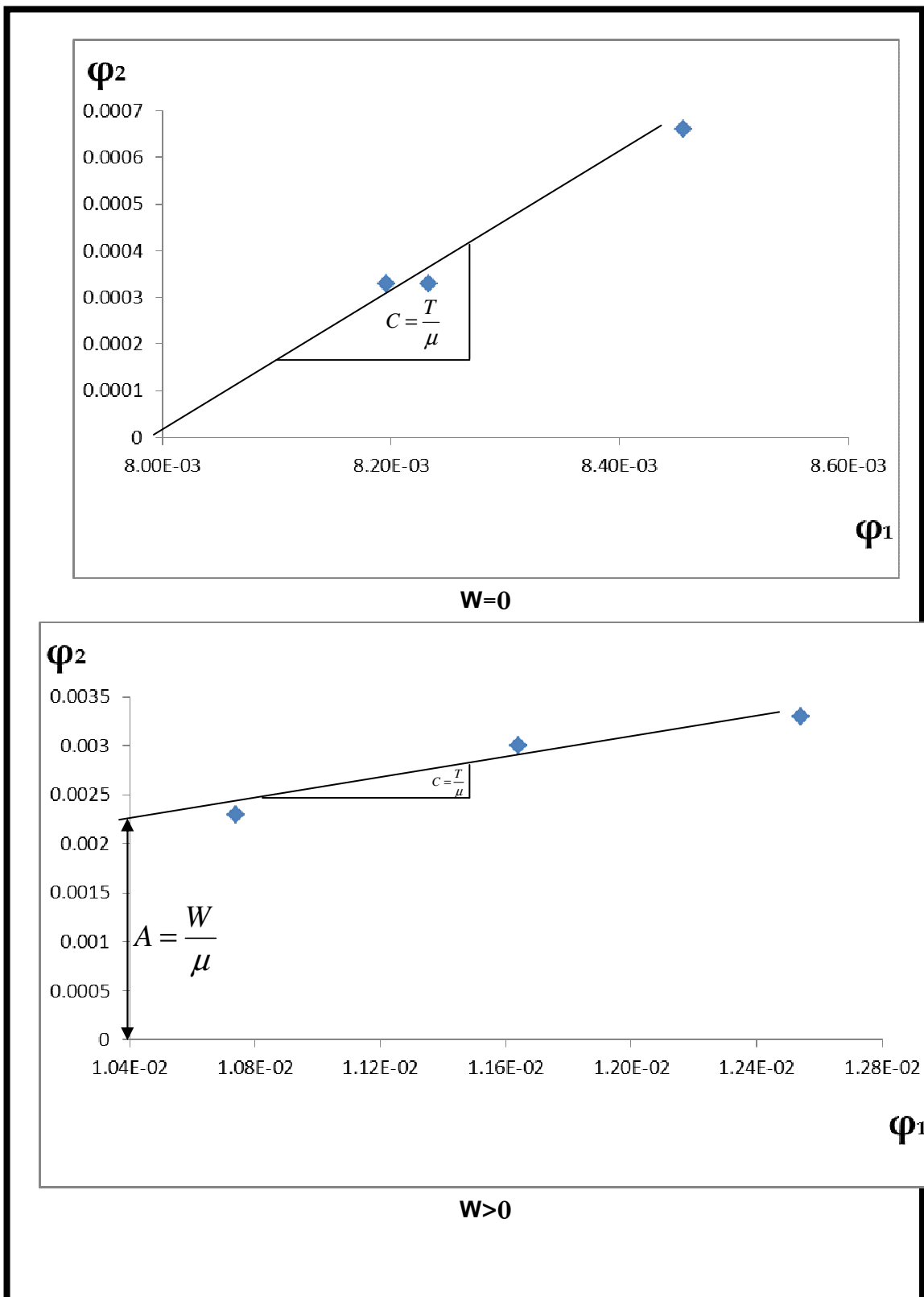
الحساب لمختلف المجالات الزمنية Δt يجب أن تقع على خط مستقيم بعد تبديل البارامترات بقيمها التي تم الحصول عليها، ولتوسيع ذلك اخترنا المقطع (16 - 8 - 9) مثلاً، الشكل (3)، ونوضح على الشكل (7) منحنى تغير

منسوب المياه الجوفية خلال فترة المراقبة في البئر (9) من هذا المقطع، وكذلك الفترات الزمنية المستخدمة Δt لتعيين المعاملات الهيدروجيولوجية عليه.



الشكل (7) منحني تغير منسوب المياه الجوفية في البئر (9) خلال فترة المراقبة 2012 - 2013
المجالات: 1,2,3 تمثل فترات إجراء الحساب (Δt) عندما $W(x,t) = 0$
4,5,6 تمثل فترات إجراء الحساب (Δt) عندما $W(x,t) > 0$

إن التمثيل البياني للعلاقتين (19 ، 20)، الشكل (8)، يبين أن جميع نقاط الحساب تتوضع على استقامة واحدة على هذين المنحنين، ويعُد ذلك دليلاً على صحة تعيين البارامترات الهيدروجيولوجية لمنطقة الدراسة.



الشكل (8) التمثيل البياني . التحليلي بطريقة الفروق المنتهية لتعيين المعاملات الهيدروجيولوجية بواسطة معطيات المراقبة على المقطع (W>0) في الحالتين (W=0) و (Iv)

الاستنتاجات والتوصيات

نخلص من خلال هذا البحث إلى النتائج التالية:

- ☒ تغير قيم الناقلة المائية من 36 إلى 570 $\text{m}^2/\text{يوم}$ ، وتصل أحياناً إلى 1250 $\text{m}^2/\text{يوم}$ تقريباً في الجزء الشمالي الغربي من منطقة الدراسة.
 - ☒ تراوح عامل الرشح بين 1 - 50 $\text{m}/\text{يوم}$ تقريباً.
 - ☒ قيم المعطائية المائية منخفضة إلى متوسطة من جراء ازدياد قيمة عامل الانتشار، وتراوحت قيمتها بين 0.2 و 0.00004.
 - ☒ تغير قيمة التغذية الراسحة من 3.5 إلى 211 mm تقريباً، وتبلغ وسطياً 49 mm ، وبنسبة مئوية تراوحت بين (1-40)% من الهطولات تقريباً.
 - ☒ شُئم الهطولات المطرية في منطقة الدراسة بغالبيتها في تشكيل جريانات سطحية، وجزء منها يُفقد عن طريق التبخر.
 - ☒ تتوافق طريقتنا تجارب الضخ ومراقبة نظام المياه الجوفية في تعين البارامترات الهيدروجيولوجية للجريان المائي الجوفي في هذه المنطقة، الأمر الذي يؤكد دقة تعين هذه المعاملات ويسمح وبالتالي بإعطاء تصور واضح عن البنية الهيدروجيولوجية لهذا الجريان.
- يُعد توافر المعلومة أمراً أساسياً لإيجاد حل لأي مشكلة مائية، ويأتي بعد ذلك طرائق التعامل مع المعلومة بأساليب غير تقليدية، وتطبيق مناهج مختلفة للبحث العلمي للوصول للغاية المنشودة وهي تأمين مصادر مائية كافية ومتعددة للأجيال الحالية والقادمة.

لذلك نوصي بتوفير المعلومات المتغيرة زماناً ومكاناً والتي تشتمل على قياسات مناسبات المياه، إضافةً إلى حساب معدلات التغذية الراسحة للخزانات الجوفية من مياه الأمطار التي تتسلب إلى داخل الطبقات، مع عدم إغفال الدور المهم لطرائق الاستكشاف الجيوفизيائي في الحصول على معلومات ضرورية تساعد في تقييم الوضع المائي، وذلك بتحديد شكل وتوزيع وثخانة الطبقات الحاملة للمياه وخصائصها الفيزيائية، بالإضافة إلى تحديد الخصائص الهيدروديناميكية لهذه الطبقات.

كما أنّ توفير المعلومات الموثوقة والمتكاملة والمنظمة يساعد على الخروج باستنتاجات دقيقة وسليمة لتقدير الوضع المائي، كما تساعد أصحاب القرار على اتخاذ القرارات المناسبة فيما يخص تنفيذ السياسات المائية المقترنة.

المراجع:

1. GAVICH, I. K. *Hydrogeodinamek*. Nedra publishers, Moscow, 1988, 347. (in Russian)
2. GAVICH, I. K. *Theory and application modeling in hydrogeology*. Nedra publishers, Moscow, 1983, 352. (in Russian)
3. CHESTAKOV, F. *Ground Water Movement*. University Moscow, Moscow, 1979, 367. (in Russian)
4. JULIANA, D. ; PILAR, L. ; GUILLAUME, N. ; IAN, R. ; FRANCES, G. *Modeling the hydrological response of a Mediterranean medium-sized headwater basin subject to land cover change: The Cardener River basin (NE Spain)*. Journal of Hydrology, Spain, 383, 2010, 125-134.

5. WANG, H. F. ; ANDERSON, M. P. *Introduction to ground water modeling finite difference and finite element methods.* San francisco, 1982, 237.
6. الطائي، ثائر محمود. ؛ الصادق، عبد الغني عبو. نموذج اعتباري لتحديد اتجاهات حركة المياه الجوفية وتخمين كمياتها في سهل السيليفاني شمال بحيرة سد الموصل، مجلة جامعة دمشق للعلوم الهندسية. العدد الثاني، 2004، 35-11.
7. السباعي، محمود. نمذجة حركة المياه الجوفية (حالة حوض الفرات الأدنى)، مجلة جامعة دمشق للعلوم الأساسية. العدد الثاني، 2005، 114-91.
8. محمد، أحمد محمد. تحديد الناقليات المائية باستخدام معطيات الموازنة المائية للطبقة الحاملة للمياه. مجلة جامعة دمشق للعلوم الأساسية، سورية، المجلد (17) - العدد الثاني، 2001، 185-196.
9. البسام، عبد العزيز محمد. أهمية المعلومات الهيدرولوجية والهيدروجيولوجية في تقييم الوضع المائي، مجلة جامعة الملك سعود. 2012، 1-15.
10. ADRIANA, H. G. NORID, T. *Hydrogeology and geochemical characterization of ground water in a typical small scale agricultural area of Japan.* Journal of Asian, Earth sciences, Japan, 29, 2007, 18-28.
11. حايك، شريف بدر. مساهمة في تقييم تجربة الضخ الاستثمارية من طبقة المياه الجوفية المضغوطة في بانياس، مجلة جامعة تشرين. العدد الرابع، 2011، 9-24.
12. دراسة تطويرية لمصادر المياه في الأحواض المركزية والشمالية الغربية للجمهورية العربية السورية. الوكالة اليابانية للتعاون الدولي (جايكا . JICA)، 2000.
13. الخريطة الطبوغرافية لسوريا. رقعتنا (اللانقية وجبلة)، بمقاييس 1:25000، دمشق، 1972.
14. *Irrigation construction on an area of about 10thos. Hectares at the region of NAHR ALKABIR RIVER DAM in the Arab republic of Syria 2nd stage,* General plan, part 1, SOYZGIPROVODKHOZ USSR, 1980, 229.
15. راعي، كنان جمال. دراسة هيدروجيوكيميائية للمصادر المائية في الجزء الأدنى من حوض نهر الكبير الشمالي وتقدير التأثير الجيولوجي على هذه المصادر وخواص التربة في تلك المنطقة، رسالة ماجستير، كلية العلوم . جامعة تشرين . سورية، 2010، 184.
16. محمد، أحمد محمد. *الهيدروجيولوجيا التطبيقية.* جامعة تشرين، سورية، 2013، 361.
17. DRABNAHOD, N. E. and YAZFEN, L. C. *Evaluation ground water resource.* Moscow, 1986, 286.